



TITLE:

22.大きさを持った粒子間の分散力  
(大阪大学基礎工学研究科物理系専  
攻物性分野,修士論文アブストラク  
ト(1985年度)その2)

AUTHOR(S):

村田, 道夫

---

CITATION:

村田, 道夫. 22.大きさを持った粒子間の分散力(大阪大学基礎工学研究  
科物理系専攻物性分野,修士論文アブストラクト(1985年度)その2). 物性  
研究 1986, 46(5): 738-739

ISSUE DATE:

1986-08-20

URL:

<http://hdl.handle.net/2433/92237>

RIGHT:

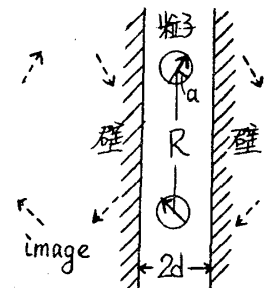
本研究では、常圧常温下で B 8 構造をとり、軸比の異なる MnTe ( $c/a = 1.62$ ) と CrSb ( $c/a = 1.32$ ), そして B 1 構造から B 8 構造への圧力誘起相転移が報告されている MnSe の 3 種の化合物についての高圧下における X 線回折・電気抵抗測定実験をすすめた。X 線回折によって、MnTe では約 23 GPa, CrSb では約 17 GPa で、いずれも B 8 構造から斜方晶 MnP 型 (B 31) 構造へ転移することが見出された。また、MnSe については約 10 GPa において既報の B 1 → B 2 転移を確認したのち、新たに約 32 GPa において相転移を見出だした。

これらの結果と電気抵抗測定の結果とをあわせて、B 8 構造の高圧下における構造相転移の機構について議論する。

## 22. 大きさを持った粒子間の分散力

村 田 道 夫

平行な 2 枚の壁に挟まれた狭い空間にある大きさを持った粒子及び分子間の分散力は壁の電磁気的な相互作用の為に自由空間にある場合とは大きく変化することが分かった。壁が金属の場合及び誘電体の場合について分散力の変化を計算した。

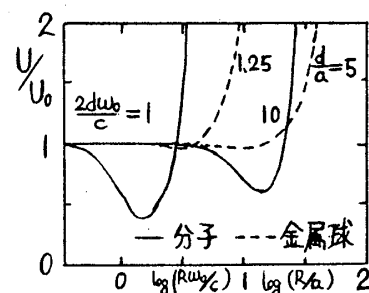


一般に、分散力は次の式で与えられる。

$$\begin{aligned}
 U = & -\frac{\hbar}{2\pi} \int_0^\infty \text{Tr} \left[ \alpha_1(i\xi) \Psi^{EE}(r_1 r_2 i\xi) \alpha_2(i\xi) \Psi^{EE}(r_2 r_1 i\xi) \right. \\
 & + \beta_1(i\xi) \Psi^{MM}(r_1 r_2 i\xi) \beta_2(i\xi) \Psi^{MM}(r_2 r_1 i\xi) \\
 & + \alpha_1(i\xi) \Psi^{EM}(r_1 r_2 i\xi) \beta_2(i\xi) \Psi^{ME}(r_2 r_1 i\xi) \\
 & \left. + \beta_1(i\xi) \Psi^{ME}(r_1 r_2 i\xi) \alpha_2(i\xi) \Psi^{EM}(r_2 r_1 i\xi) \right] d\xi
 \end{aligned}$$

ここに、 $\alpha$ ,  $\beta$  はそれぞれ粒子の電氣的, 磁氣的な分極率,  $\Psi^{AB}(r' r \omega)$  は  $r$  点にあり,  $\omega$  で振動している B (電気 or 磁気) ダイポールによる  $r'$  点での A (電場 or 磁場) を表わすテンソルである。金属球の場合には磁氣的な項が電氣的な項と同程度の寄与をするが、それ

以外の場合磁気的な項の寄与は非常に小さい。  
壁が金属の場合には、壁の効果を壁の中にイメージダイポールを想定することで置き換えられる。  
電氣的ダイポールのイメージは図の様に壁に垂直な成分は同じ向き、平行な成分は向きが交互に変わる。遅延の効果を無視すれば、現実のダイポールと違う向きのイメージは分散力を弱め、同じ向きのイメージは分散力を強める働きをする。このことから粒子間の距離  $R$  が比較的小さな領域では壁に平行な 2 成分のイメージが分散力を弱め、 $R$  が大きい領域では壁に垂直な成分の巨大イメージダイポールが形成され、これにより分散力が強められると理解される。しかし実際には、遅延の効果でイメージからの距離によって位相が変わるので、これほど単純には考えられない。磁気的な壁の効果は、電氣的なものとは性質が異なっていることも報告する。



### 23. 1T 型遷移金属ダイカルコゲナイド層間化合物 $M_x\text{TiS}_2$ の電子構造

山 崎 隆 浩

1T 型層状遷移金属ダイカルコゲナイド  $\text{TiS}_2$  の層間に 3d 遷移金属をインターカレートした  $M_x\text{TiS}_2$  ( $M = 3d$  遷移金属) は磁性及び輸送現象に興味深い現象を示す。これらの層間化合物の磁性、輸送現象及びインターカレーションの構造を理論的に解明するために、電子状態の計算を行なってきた。  $M_x\text{TiS}_2$  の電子帯構造の計算は、マッフィーン-ティン球近似を使った self-consistent APW 法を用いて行なった。電荷密度の決定は  $1/100$  Ry の精度内でエネルギー固有値が求まるように行なった。実際の計算は、比較的結晶構造の簡単な  $\text{TiS}_2$ ,  $\text{FeTiS}_2$ ,  $\text{CrTiS}_2$ ,  $\text{Fe}_{1/3}\text{TiS}_2$  の常磁性状態に対して行なった。  $\text{FeTiS}_2$ ,  $\text{Fe}_{1/3}\text{TiS}_2$  のフェルミレベルは状態密度のピーク付近にあり、そこでの状態密度  $\rho(E_F)$  は大きな値を持ち、強磁性のしやすい実験結果と対応する。しかし、  $\text{Fe}_{1/3}\text{TiS}_2$  の  $\rho(E_F)$  は  $\text{FeTiS}_2$  の  $\rho(E_F)$  の半分程度の値である。このことは  $\text{Fe}_{1/3}\text{TiS}_2$  の  $T_C (= 55\text{K})$  は  $\text{FeTiS}_2$  の  $T_C (= 160\text{K})$  に比べて低いという実験事実と対応している。また  $\text{Fe}_{1/3}\text{TiS}_2$  の  $\rho(E_F)$  には、Fe の 3d 成分